

УДК 551.735(574.3)

В. Я. ЖАЙМИНА¹, С. Н. МУСТАПАЕВА², А. Б. БАЙБАТША², Ж. БЕЛКА³

(¹Институт геологических наук им. К. И. Сатпаева, г. Алматы,

²Казахский национальный технический университет им. К. И. Сатпаева, г. Алматы,

³Университет им. А. Мицкевича, Познань, Польша)

ГРАНИЦА ВИЗЕЙСКОГО И СЕРПУХОВСКОГО ЯРУСОВ В БОЛЬШОМ КАРАТАУ (ЮЖНЫЙ КАЗАХСТАН)

Аннотация. Международная Подкомиссия по каменноугольной стратиграфии занимается поиском разреза для определения Точки Глобального Стратотипа Границы для визе-серпуховских отложений. Реперами в Казахстане могут служить хорошо охарактеризованные фаунистически разрезы Большого Карагатау (Жанакурган, Актобе, Жертансай, Ушозень и др.). В северо-западном регионе Большого Карагатау выделяется 2 типа карбонатов: глубоководные и мелководные. В них обнаружены комплексы фораминифер верхнего визе и нижнего серпухова. Граница серпуховского яруса проводится по появлению фораминифер *Janischewskina delicata*, либо *Neoarchaediscus parvus*, *Biseriammina parva* и *Endostaffella parva*. Корреляция визейских и серпуховских стратиграфических подразделений северо-запада гор Большой Карагатау базируется на фораминиферах, а глубоководных верхневизейских – на конодонтах.

Ключевые слова: граница, стратотип, фораминиферы, конодонты, верхнее визе, нижние серпухи, подъярус, северо-запад, Большой Карагатау, разрезы, Жанакурган, Актобе, Жертансай, Ушозень.

Тірек сөздер: шекара, стратотип, фораминиферлер, конодонттар, жоғарғы визе, төменгі серпухов, жіккабат, солтүстік-батыс, Үлкен Қаратау, құма, Жаңақорған, Актөбе, Жертансай, Ушөзен.

Keywords: boundary, stratotype, foraminifera, conodonts, Upper Vis?an, Late Serpukhovian, Substage, northwestern, Big Karatau, sections, Zhanakurgan, Aktobe, Akuyuk, Zhertansay, Ushozhen.

Казахстан входит в единое мировое сообщество, в котором существует Международный союз геологических наук (МСГН) и при союзе работают Международные комиссии по стратиграфии (МКС). Международные комиссии по стратиграфии занимаются созданием Международной стратиграфической шкалы (МСШ). В связи с этим отрабатываются стратотипы ярусов и точки глобальных стратотипов границ (ТГСГ) систем, ярусов. После специальных стратиграфо-палеонтологических исследований, которые проводились в последнее десятилетие во всем мире, был принят последний вариант МСШ, утвержденный на сессиях Международного геологического конгресса (МГК) в Рио-де-Жанейро [1], во Флоренции [2], и в Брисбене (2013). Подкомиссия по каменноугольной стратиграфии занимается поиском подходящего разреза для определения ТГСГ для визе-серпуховской границы [3]. Для определения границы, целевая группа планирует использовать первое появление конодонтов *Lochriea ziegleri* [4, 5]. Хотя потенциальный показатель для пограничного определения был выбран, он не был поставлен на голосование в SCCS для окончательного утверждения. *Lochriea ziegleri* появляется в веневском региональном подъярусе Западной России [6–8], что несколько ниже основания серпуховского яруса, как оно определяется в лектостратотипе в разрезе карьера Зaborье недалеко от города Серпухов в Московском бассейне России [9, 10]. В связи с этим возникла необходимость определять основание серпуховского яруса по фораминиферам.

В России и на территории СНГ принятая Общая стратиграфическая шкала, утвержденная МСК России в 1997 г. [11], которая во многом совпадает с МСШ. В Казахстане также используется ОСШ, принятая в 1992 г. в России, но без изменений, утвержденных МСК России в 1997 г. [12].

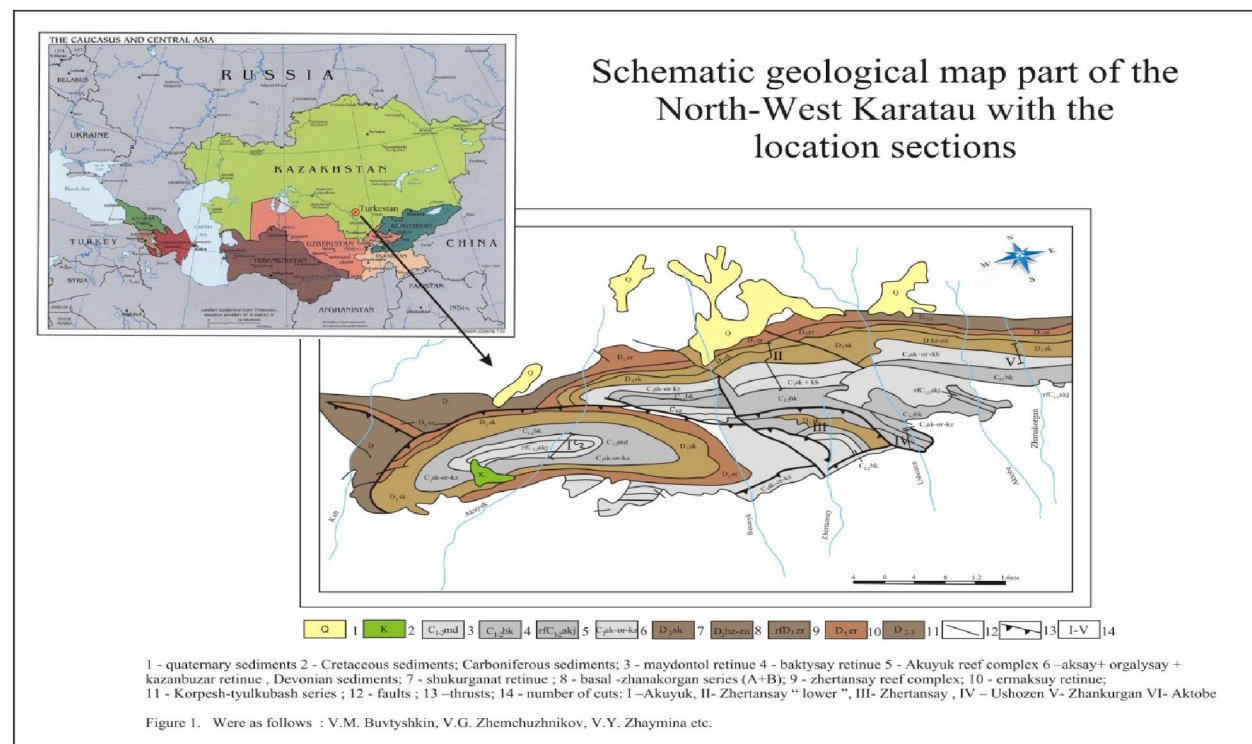
Вариант ОСШ каменноугольной системы, используемый в Казахстане, сложился в России в 70-е годы, а затем был принят в 1986 г. на Стратиграфическом совещании, после которого никаких изменений в Казахстане в шкалу не вносилось. Таким образом, возникли вопросы о пограничных отложениях визейского и серпуховского ярусов, которые и продолжают изучаться [13].

Верхняя граница визейского яруса принята в паастратотипе во Франции и проводится по подошве гониатитовой зоны E₁, которой соответствует подошва фораминиферовой зоны Cf7 Франко-Бельгийского бассейна [14] и подошва фораминиферовой зоны *Pseudoendothyra globosa* – *Neoarchaediscus parvus* биостратиграфического зонального стандарта [15].

В России изучается характеристика стратотипа серпуховского яруса, который находится в Подмосковье [16]. При зональном расчленении серпуховского яруса в России в низах яруса Е. И. Кулагиной и Н. Б. Гибшман выделена фораминиферовая зона *Neoarchaediscus postrugosus – Eolasiodiscus donbassicus – Janischewskina delicata* [17].

Реперами в Казахстане могут служить хорошо охарактеризованные фаунистически разрезы серпуховского яруса Большого Карагату [18]. Наиболее полно изучены разрезы в северо-западной части Большого Карагату (Жанакурган, Актобе, Акуюк, Жертансай, Ушозень и др.). При полевых работах 2012 г. продолжалось изучение пограничного визе-серпуховского интервала [19]. Ревизию биостратиграфических подразделений отложений Большого Карагату авторы не считают завершенной и предполагают необходимость доизучения фораминифер и других органических остатков на отдельных стратиграфических уровнях.

В северо-западной части гор Большой Карагату пограничные отложения визейского и серпуховского ярусов сложены шельфовыми мелководными карбонатными фациями майдантальской свиты с преобладанием брахиоподовых известняков (разрезы Ушозень и Жертансай) и глубоководными терригенно-карбонатными осадками бактысайской свиты (разрезы Жанакурган и Актобе). В разрезе Актобе среди глубоководных отложений встречены склоновые биогермы. Отложения бактысайской свиты широко распространены, имеют северо-западное простирание и хорошо обнажены в русле рек Жанакурган, Актобе, Жертансай, Ушозень (рисунок 1).



Их образование происходило от верхнего визе до нижнего башкира. В региональных схемах каменноугольных отложений Казахстана бактысайская свита соответствует части яговкинскому, ишимскому, дальненскому, белеутинскому и жертансайскому горизонтам (Региональные схемы..., 1991).

Наиболее интересные и изученные разрезы глубоководных отложений бактысайской свиты расположены вдоль устья рек Жанакорган и Актобе. Опорным разрезом для Казахстана может служить разрез Жанакорган. Бактысайская свита охарактеризована различными органическими остатками: водорослями, фораминиферами, брахиоподами, криноидиями в мелководных фациях и конодонтами, радиоляриями и губками в глубоководных [20]. Конодонты, радиолярии и губки встречаются в прослоях инситных пород (вакистоунах). Формирование бактысайской свиты произошло от верхнего визе до башкирского яруса. В разрезе Актобе среди глубоководных осадков встречаются склоновые биогермы, сложенные губками, кораллами, присутствуют мшанки.

Мощность верхнего визе в разрезах бактысайской свиты до 340 м, мощность отложений серпуховского яруса до 300 м. В разрезе Жанакорган бактысайская свита согласно залегает на казанбазарской свите нижнего визе. Венчают разрез отложения среднего карбона башкирского яруса (жертансайский горизонт региональной схемы Казахстана). В мелководных осадках граница визейского и серпуховского ярусов прослежена в майдантальской свите. Наиболее полными являются разрезы Ушозень и Жертансай. В разрезах Ушозень и Жертансай в пограничных отложениях визе – серпухова встречены фораминиферы, брахиоподы, криноидии, водоросли, причем в разрезе Жертансай в низах серпуховского яруса присутствуют карстовые брекчии, что свидетельствует об обмелении бассейна в данное время. В региональной схеме Казахстана граница визейского и серпуховского ярусов совпадает с границей дальненского и белеутинского горизонтов.

В стратотипе белеутинского горизонта в разрезе Белеуты (Жезказганский регион) встречены аммоноидии.

Таким образом, в г. Большой Карагату граница визе-серпухова изучалась в различных фациальных обстановках: глубоководных и мелководных (рисунок 2).

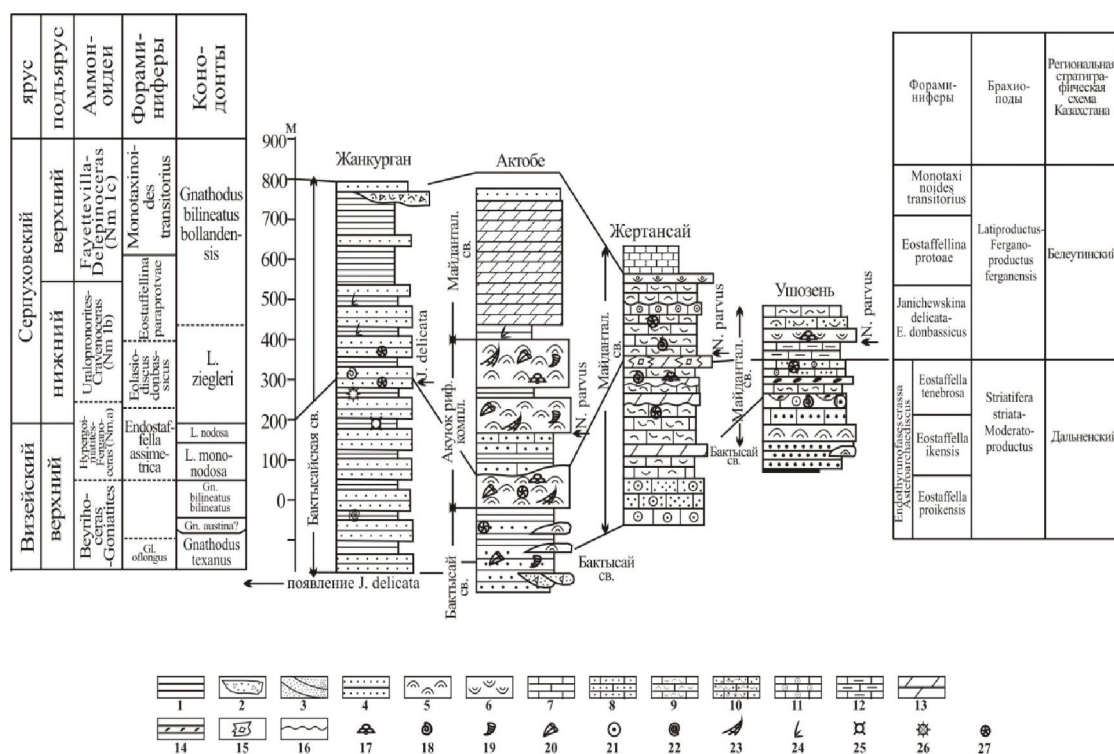


Рисунок 2. Схема корреляции глубоководных и мелководных пограничных визе-серпуховских отложений Большого Карагата. 1-глубоководные ламинационные известняковые мадстоуны; 2-глубоководные брекчии дебрисовых потоков; 3-гравитационные потоки и толстоэлоистые амальгамированные турбидиты; 4-средне- и тонкоэлоистые турбидиты дюстройки и рифы окраины платформы; 5-водорослевые баундстоуны; 6-баундстоуны водорослей Ivanovia; 7-известняковые вакстоуны и пакстоуны; 8-известняковые пакстоуны и грейстоуны; 9-известняковые скелетные вакстоуны и пакстоуны; 10-известняковые скелетные пакстоуны и грейстоуны; 11-оoidные известняки; 12-пеллоидные известняки; 13-толстоэлоистые биотурбированные доломиты; 14-известняковые конгломераты; 15-карстовые брекчии; 16-эрзационные поверхности; 17-водоросли; 18-брахиоподы; 19-кораллы Rugosa; 20-колониальные кораллы; 21-криноидии; 22-аммоноидии; 23-мшанки; 24-конодонты; 25-губки; 26-радиолярии; 27-фораминиферы

Разрезы пограничных визейско-серпуховских отложений изучались комплексно – рассматривались литология и органические остатки.

В разрезе Жанакорган описываются глубоководные отложения в русле реки Жанакорган (слои от 1 до 10, образцы 11413–11440 м) (рисунок 3).



Рисунок 3 – Разрез Жанакорган

Разрез сложен переслаиванием инситных вакистоунов с зернистыми турбидитами. В основании серпуховского яруса в зернах турбидитов встречаются фораминиферы, брахиоподы, криноидеи, кораллы, мшанки и фрагменты водорослей. В вакистоунах встречаются радиолярии, фрагменты спикул губок и редко, фораминиферы [21].

В разрезе Жанакорган верхневизейские отложения сложены переслаиванием вакистоунов с зернистыми турбидитами.

В нижней части верхнего визе (обр. 11413) встречены брахиоподы и криноидеи, затем появляются водоросли. В нижней части (обр. 11413–11414) преобладают турбидиты, сложенные грейнстоунами и пакстоунами.

В грейнстоунах встречены фораминиферы *Diplosphaerina inaequalis* Derville, *Endothyra similis* (Rauser et Reitlinger), *E. pauciseptata* (Rauser), много *Omphalotis* (*O. omphalota* Rauser et Reitlinger, *O. involuta* (Brazhnikova), *Pojarkovella* sp., *Bradyina rotula* (Eichwald), *Archaeodiscus chernoussovensis* (Mamet), *Asteroarchaediscus baschkiricus* (Krestovnikov et Theodorovich), *Asteroarchaediscus* sp., *Tetrataxis quasiconica* (Brazhnikova), *Tetrataxis paraminima* (Vissarionova). Здесь же встречены водоросли *Shartymophycus fusus* (Kulik). Мощность слоя 36 м.

В интервале с образцами 11415–11416 преобладают вакистоуны с прослоем в нижней части грейнстоунов с фораминиферами *Eotuberitina* sp., *Eoendothyranopsis* sp., *Mediocris mediocris* (Vissarionova). В вакистоунах встречаются спикулы губок и, редко, водоросли. Мощность интервала 30 м.

Выше в образцах 11417–11418 низы сложены вакистоунами со спикулами губок, выше встречены грейнстоуны с водорослями и фораминиферами: *Diplosphaerina* sp., *Eoendothyranopsis contracta* (Simanova), *Globoendothyra* sp., *Omphalotis* sp., *Endostaffella* sp., *Howchinia gibba* (Moeller), *Forschia* sp., *Quasiammmodiscus buskensis* (Brazhnikova). Мощность интервала 47 м.

Интервал с образцами 11419–11428 сложен также переслаиванием вакистоунов и грейнстоунов с преобладанием грейнстоунов и появлением кремнистых стяжений в верхней части интервала. В грейнстоунах обнаружены фораминиферы *Tolyammina?* sp., *Endothyranopsis compressa* (Rauser et Reitlinger), *E. crassa* (Rauser et Reitlinger), *Eoendothyranopsis dessecta* (Simanova), *E. mediocriformis* (Solovjeva), *Omphalotis cf. infrequentis* (Shlykova), *O. aff. samarica* (Rauser), *Globoendothyra globulus* (Eichwald), *Pojarkovella nibilis* (Durkina), *Ninella* sp., *Eostaffella cf. parastruvei* (Rauser), *Eostaffella cf. ovoidea* (Brazhnikova et Potievskaja), *Eostaffella mosguensis* (Vissarionova), *Mediocris brewiscula* (Ganelina), *Janishewskina* sp., *Archaeodiscus pauxillus* (Schlykova), *Archaeodiscus* sp., *Tetrataxis* sp.

Между образцами 11424 и 11425 встречены конодонты *Gnathodus girtyi girtyi* Hass. Выше, между 11425–11426, появляются *Gnathodus bilineatus bilineatus* Roundy и *Gnathodus commutatus* Branson et Mehl. Между 11429 и 11430 встречены конодонты *Gnathodus mononodosus* Rhodes, Austin et Druce и *Gnathodus nodosus* Bischoff. В интервале 11429–11430 вакистоуны с кремнистыми стяжениями и присутствуют спикулы губок. Мощность 44м.

Низы серпуховского яруса (интервал с образцами 11431–11435) сложены грейнстоунами с прослойями вакистоунов. В верхней части интервала в грейнстоунах встречены водоросли и фораминиферы: *Archaeosphaera grandis* (Lipina), *Diplosphaerina maljavkini* (Mikhailov), *D. insignis*

(Conil et Lys.), *Calcisphaera* sp., *Haplophragmina* sp., *Earlandia elegans* (Rauser et Reitlinger), *Scalebrina* sp., *Endothyra aff. bowmani* (Phillips), *Rectoendothyra* sp., *Endothyra* sp., *Planoendothyra spirilliniformis* (Brazhnikova et Potievskaja), *Eoendothyratopsis* sp., *Eo.* cf. *scitula* (Toomey), *Endostaffella* cf. *discoidea* (Girty), *E. schamordini* (Rauser), *E. delicata* (Rosovskaja), *Eostaffellina?* sp., *Biseriella* aff. *procera* (Postojalko), *Janischewskina minuscularia* (Ganelina), *Janischewskina delicata* (Malakhova), *Janischewskina typica* (Mikhailov), *Howchinia exilis* var. *compressa* (Brazhnikova), *Endotaxis planiformis* (Brazhnikova), *Neoarchaediscus* cf. *parvus* (Rauser), *Rugosoarchaediscus* sp.

Мощность 80 м.

Интервал с образцами 11436–11440 сложен переслаиванием вакистоунов и грейнстоунов. В вакистоунах встречены спикулы губок, в грейнстоунах-водоросли и фораминиферы. Кроме встречаенных ранее присутствуют *Tuberitina bulbacea* (Galloei et Harlton), *Tubeporina* sp., *Paracaligella antropovi* (Lipina), *Paracaligelloides serpuchoviensis* (Brazhnikova), *Ammovertella* sp., *Eoendothyranopsis* sp., *Eo. cf. donica* (Brazhnikova et Rostovzeva), *Eo. aff. ermakiensis* (Lebedeva), *Mirifica mirifica* (Rauser), *Omphalotis minima* (Rauser et Reitlinger), *O. sp.*, *Globoendothyra inconstans* (Grozdilova et Lebedeva), *Gl. sp.*, *Mikhailovella cf. gracilis* (Ganelina), *Endostaffella fucoides* (Rosovskaja), *Biseriella cf. parva* (N. Tschernysheva), *Globivalvulina aff. pulchra* (Reitlinger), *Archaeodiscus grandiculus* (Schlykova), *A. aff. angulatus* (Sosnina), *Asteroarchaediscus subbaschkiricus* (Reitlinger), *Rugosoarchaediscus aff. agapovensis* (Ivanova), *Ammodiscus* sp., *Palaeotextularia longiseptata* (Lipina), *P. latissima* (Brazhnikova). Мощность 81 м (рисунок 4, 5).

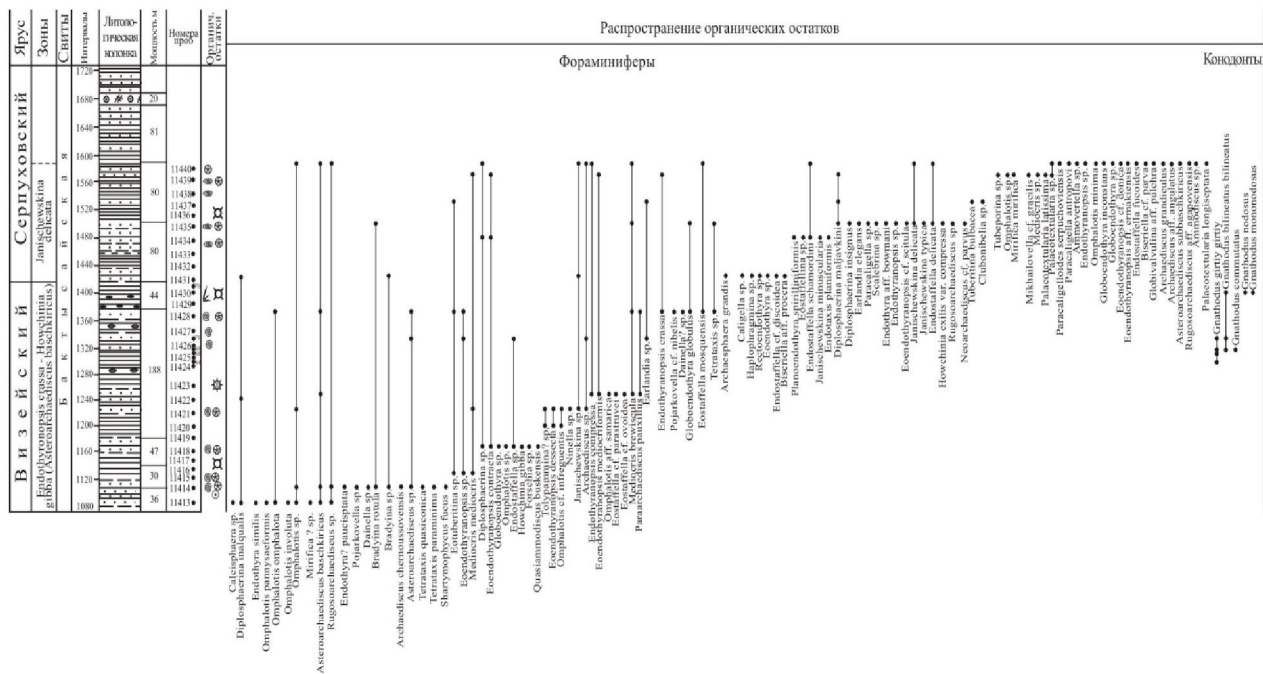


Рисунок 4 – Распространение фораминифер и конодонтов в пограничных отложениях визейского-серпуховского ярусов в разрезе Жанакорган.

Перекрывается интервал мшанково-криноидными пакстоунами. Мощность 20 м.

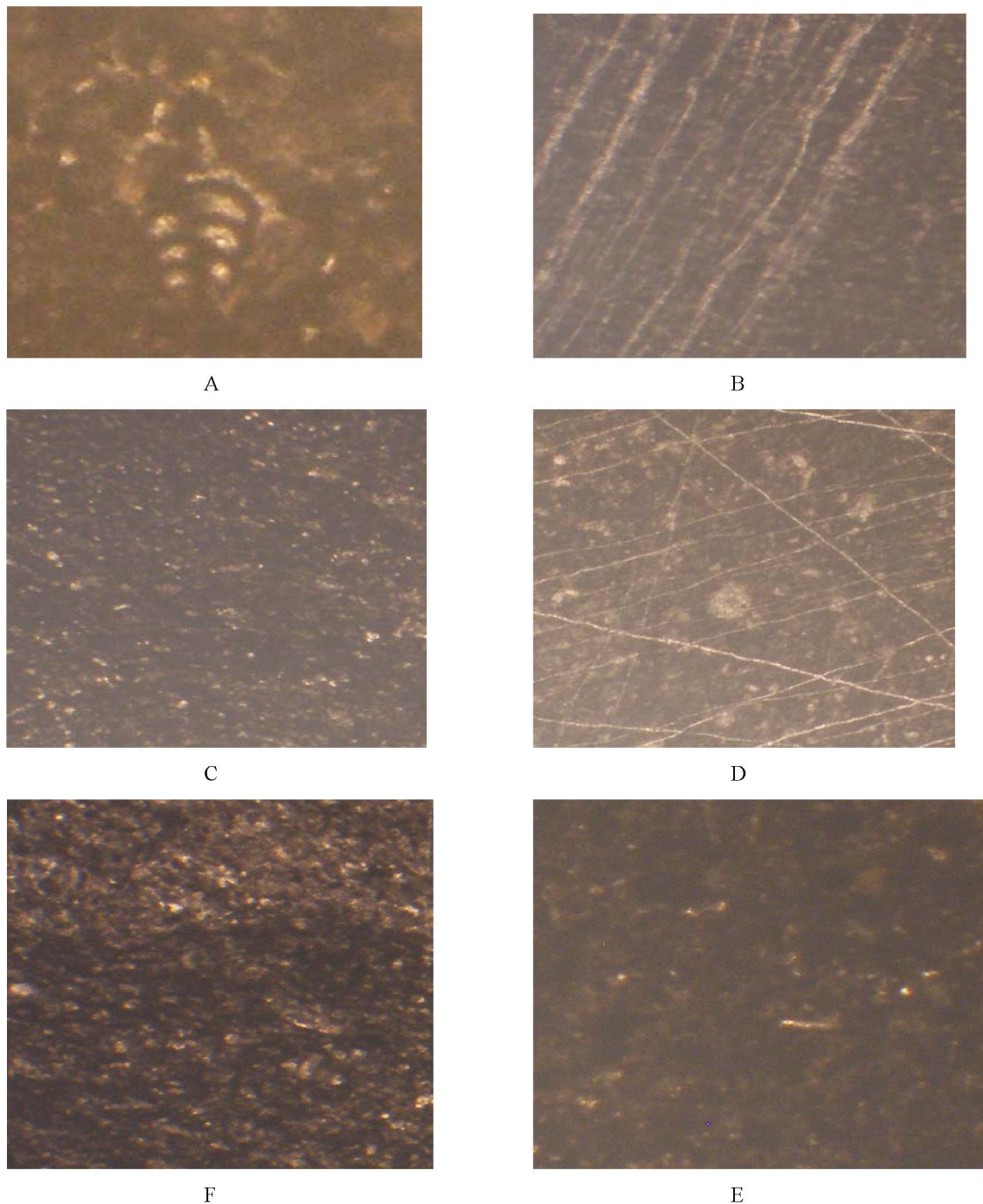


Рисунок 5 – Литология отложений верхнего визе разреза Жанакорган.
А – пакстоун с *Palaeotextularia*; В – вакистоун с мелкими спикулами губок и прожилками кальцита;
С, F – вакистоун с мелкими реликтами органики; Д – вакистоун с радиоляриями,
Е – мадстоун с мелкими спикулами губок.

В разрезе Актобе отложения верхнего визе встречены в слоях 1–4 (рисунок 6).



Рисунок 6 – Разрез Актобе.

Слой 1 сложен известняковой брекчиеи с брахиоподами и кораллами. Мощность 8 м.

Слой 2 сложен чередованием вакистоунов и пакстоунов –грейнстоунов с брахиоподами и фораминиферами *Eotuberitina sp.*, *Tuberitina collosa* (Reitlinger), *Earlandia elegans* (Rauser et Reitlinger), *Endothyra similis* (Rauser et Reitlinger), *Planoendothyra sp.*, *Omphalotis sp.*, *Archaeodiscus pauxillus* (Shlykova), *Pseudoammodiscus sp.*. Мощность слоя 22 м.

Выше в слое 3 – водорослевый биогерм. Здесь встречены брахиоподы и фораминиферы *Endothyranopsis crassa* (Brady), E. sp., *Omphalotis timanica* (Durkina), *Pseudoendothyra sp.*, *Forschia mikhaelovi* Dain, *Lituotubella sp.*, *Tetrataxis sp.* Мощность слоя 3–5 м.

Разрез наращивается переслаиванием пакстоунов-грейнстоунов и вакистоунов. В низах слоя встречены брахиоподы и фораминиферы *Endothyranopsis sp.*, *Planoendothyra aff. rotai* Dain, *Omphalotis omphalota* (Rauser et Reitlinger), *Dainella tujmassensis* (Vissarionova), *Astroarchaediscus baschkiricus* (Krestovnikov et Theodorovich). Также присутствуют конодонты *Paragnathodus symmetatus* Rhodes, Austin et Druse. В верхней части слоя в вакистоунах встречены конодонты *Gnathodus bilineatus bilineatus* (Roundy), *Gnathodus girtyi girtyi* Hass. Мощность 30 м.

Отложения серпуховского яруса обнаружены в слое 5, сложенном пакстоуном-грейнстоуном с фораминиферами *Endothyranopsis convexus* (Rauser), *Eoendothyranopsis subtilis* (Solovjeva), *Eostaffella mosguensis* (Vissarionova), *Mediocris ovalis* (Vissarionova), *Pseudoammodiscus volgensis* Rauser, *Archaeodiscus sp.*, *Neoarchaediscus parvus* (Rauser). Мощность слоя 10 м.

В слое 6 брекчия известняков с кораллами. Мощность 5 м.

Слой 7 сложен пакстоунами грейнстоунами Мощность 10 м.

В слое 8 баундстоуны – рифовые известняки мшанковые с брахиоподами. В основании слоя встречены *Astroarchaediscus subbaschkiricus* (Reitlinger). Мощность >26 м (рисунок 7, 8).

Интервал 150–200 м сложен органогенно-детритусовыми известняками (пакстоунами) с брахиоподами и фораминиферами *Eotuberitina reitlingerae* (M. Maclay), *Diplosphaerina sp.*, *Earlandia elegans* (Rauser et Reitlinger), *Earlandia vulgaris* (Rauser et Reitlinger), *Eoendothyranopsis sp.*, *Mediocris mediocris* (Vissarionova), *Mediocris sp.*, *Janischewskina sp.*, *Pojarkovella sp.*, *Planoendothyra sp.*, *Pseudoendothyra sp.*, *Omphalotis pamusaeformis* (Schlykova), *Archaeodiscus sp.*, *Planoarchaediscus paraspirillinoides* (Brazhnikova), *Dainella sp.*, *Astroarchaediscus sp.*, *Palaeotextularia longiseptata* Lipina, и другие – комплекс зоны *Eostaffella ikensis*. Мощность 58 м.

В интервале 208–237 м наблюдаются доломиты. В нижней части интервала в доломитизированных известняках, кроме встреченных ранее, появляются фораминиферы *Diplosphaerina maljavkini* (Mikhailov), *Endothyranopsis crassa* Brady, *Eoendothyranopsis mediocriformis* Solovjeva, *Eo. aff. ermakiensis* Lebedeva, *Globoendothyra globulus* (Eichwald), *Eostaffella mosguensis* (Vissarionova), *E. ikensis* Vissarionova, *E. tenebrosa* Vissarionova, *E. prisca ovoidea* Rauser, *E. parastruvei* Rauser, *Eotextularia aff. mongeri* Mamet – комплексы зоны *Eostaffella tenebrosa*. Мощность 29 м.



Рисунок 7 – Распространение фораминифер и конодонтов в пограничных отложениях визейского и серпуховского ярусов разреза Актобе

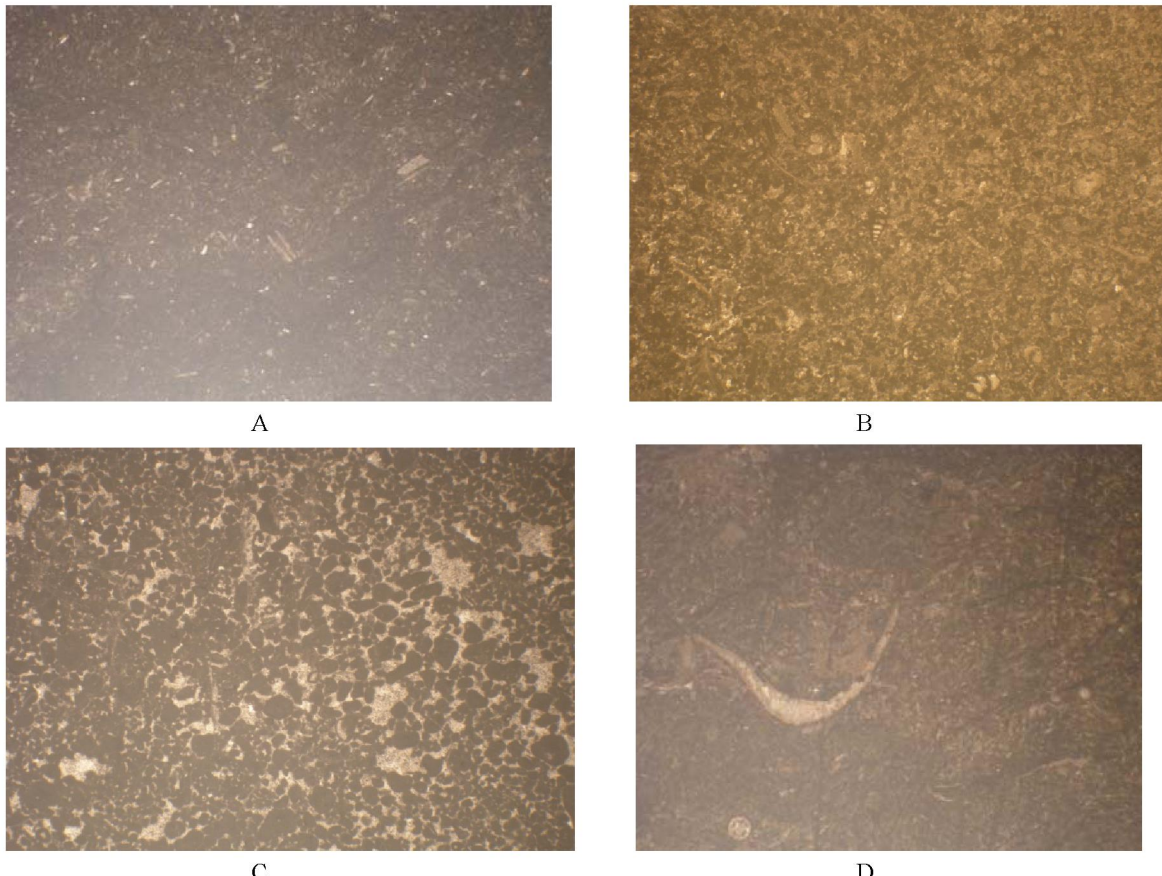


Рисунок 8 – Литология пограничных отложений визе – серпухова разреза Актобе. А, В, D – Вакистоуны с мелкими обломками органики, С – Комковатый известняк (грейнстоун)

Разрез Жертансай сложен мелководными осадками (рисунок 9).



Рисунок 9 – Разрез Жертансай

В интервале 237–320 м встречены органогенно-детритусовые известняки (пакстоуны) с брахиоподами и фораминиферами. Кроме форм, встречаенных в предыдущем интервале, продолжают свое развитие *Eoendothyranopsis* sp., появляются *Hemithurammina fimbriata* Howchin, *Planoendothyra aff. kedrovica* Durkina, *Biseriella* sp., *Ammodiscus cf. buskensis* Brazhnikova, *Tetrataxis* sp. Мощность интервала 83 м.

С 208 по 320 м встречен комплекс фораминифер зоны *Eostaffella tenebrosa*.

Интервал 320–325 м сложен доломитами. В нижней части интервала встречены *Palaeotubecularia fluxa* Reitlinger, *Plectostaffella varvariensiformis* Brazhnikova, *Plectostaffella* sp., *Biseriella exotica* Vdovenko, *Biseriella parva* N. Tchernyscheva, *Neoarchaediscus* sp., *Rugosoarchaediscus* sp. – комплекс зоны *Neoarchaediscus parvus* низов серпуховского яруса. Мощность около 5–7 м.

Выше в интервале 325–352 м в прослоях доломитизированных известняков среди доломитов встречен комплекс фораминифер зоны *Eostaffellina protvae* верхнесерпуховского подъяруса (рисунок 10, 11). Мощность верхнего визе (2-х зон) – 170 м; мощность нижних серпухов 5–7 м.

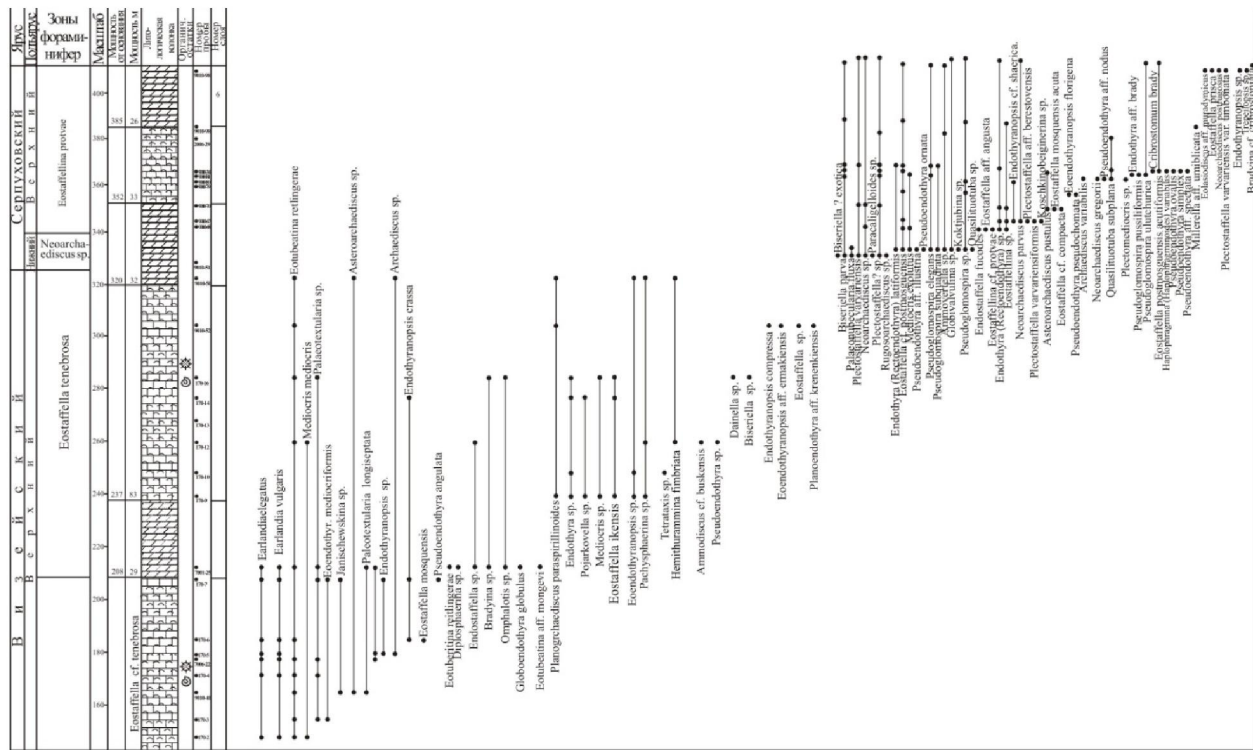


Рисунок 10 – Распространение фораминифер в пограничных визе-серпуховских отложениях разреза Жертансай

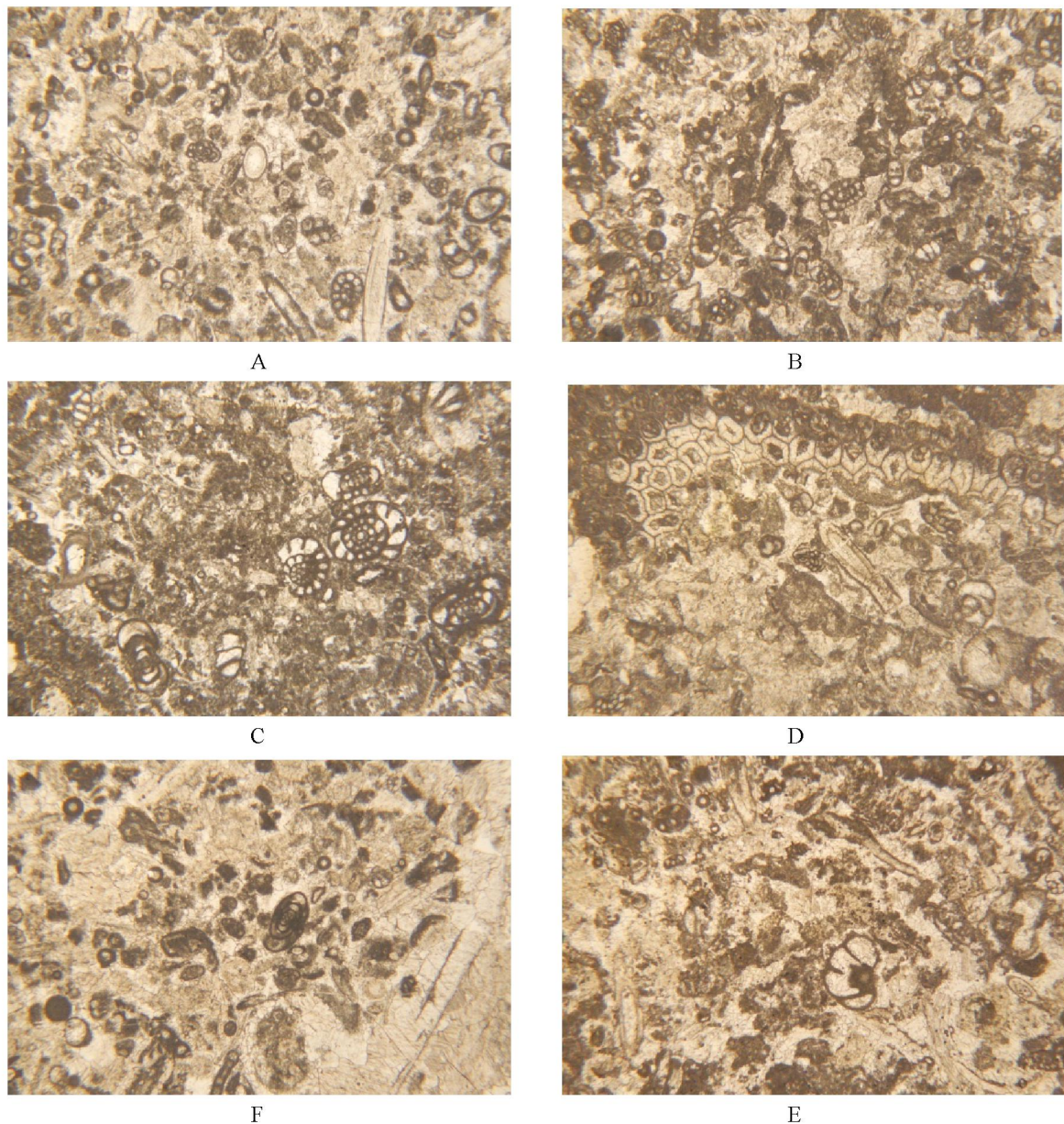


Рисунок 11 – Литология пограничных отложений визе – серпухова разреза Жертансай.
А-Е – Пакстоуны с фораминиферами и водорослями

В разрезе Ушозень встречены мелководные осадки с палеопочвами и прослойями конгломератов (рисунок 12). Слой 1 сложен известняками с кремнистыми стяжениями. Мощность слоя 30 м. Выше известняки, мощность слоя 2 – 45 м, затем в известняках появляются кремнистые стяжения – слой 3 – 26 м, выше слой – 4 переслаивание доломитов и оолитовых известняков – 50 м. Общая мощность 151 м. Здесь встречены фораминиферы *Planoarchaediscus spirillinoides* Rauser, *Uralodiscus rotundus* N. Tchernyscheva, *Ammoarchaediscus primaevus* Skvorzov, *Endothyranopsis compressa* Rauser et Reitlinger, *Propermodiscus krestovnikovi* Rauser и другие, встречены брахиоподы зоны *Globosopproductus sarsimbai*. Со слоя 5, сложенного известняковыми конгломератами (мощность 4 м) появляются фораминиферы *Endothyranopsis crassa* Brady, *Bradyina rotula* Eichwald. Здесь же присутствует *Endothyra prisca* Rauser, *Propermodiscus krestovnikovi* Rauser и др. Выше в ракушняках (пакстоунах) – слой 6, появляются *Omphalotis minuta* Simonova и *Mikhailovella sp.* Мощность слоя 36 м. Над ним прослой известняковых конгломератов (слой 7), мощность 5 м. Они сменяются ракушняками слоя 8, мощностью 64 м. Причем в середине слоя появляются *Neoarchaediscus sp.*, что позволяет предполагать здесь наличие отложений нижнеперховского подъяруса.



Рисунок 12 – Разрез Ушозень

Таким образом, верхняя часть слоя 8 – это предположительно низы серпуховского яруса. Слой 9 сложен переслаиванием известняков зернистых и ракушняковых пакстоунов. Здесь появляются фораминиферы *Endothyranopsis sphaerica* Rauser et Reitlinger, *Pseudoendothyra struvei* Moeller, *Eostaffella cf. parastruvei* Rauser, *Bradyina cribrostomata* Rauser et Reitlinger, *Jamischewskina* sp. и другие формы зоны *Eostaffellina protvae* верхнепротвильского подъяруса.

Выше в слое 10 – оолитовые известняки, еще выше сменяются переслаиванием зернистых известняков и ракушняковых пакстоунов.

От слоя 7 до слоя 12 встречаются брахиоподы зоны *Ferganoprotuctus ferganensis – Latiproductus* (рисунок 13, 14).

Рисунок 13 – Распространение фораминифер и брахиопод в разрезе Ушозень

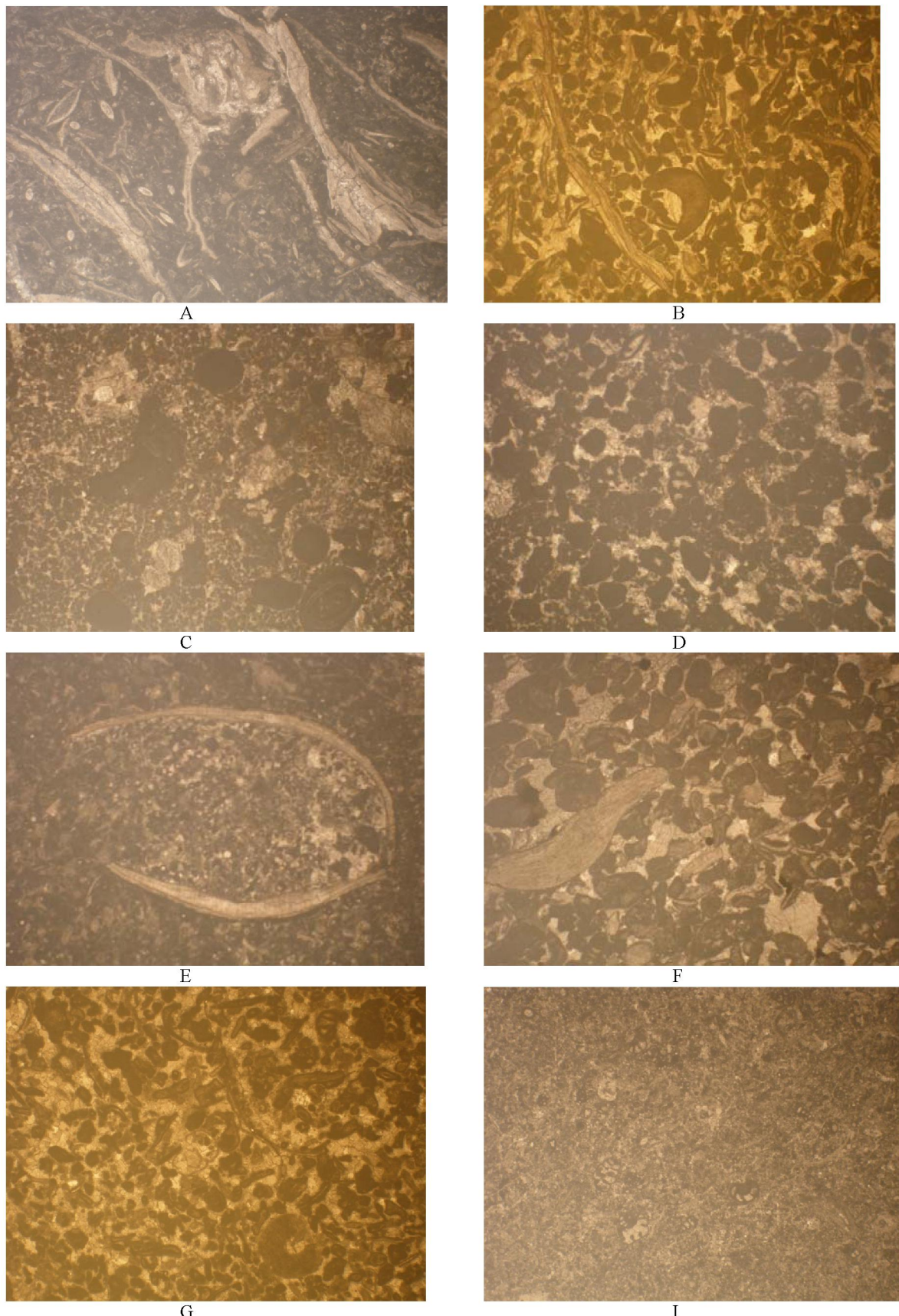


Рисунок 14 – Литология пограничных отложений визе – серпухова разреза Ушозенъ.
A-I – грейстоуны и пакстоуны

Таким образом, выделяется 2 типа карбонатных разрезов в северо-западном регионе Большого Карагату:

1 – доминируют глубоководные фации, которые сложены переслаиванием *in situ* вакистоунов и грейнстоунов, реже пакстоунов с мшанково-водорослевыми и водорослевыми постройками;

2 – мелководные фации, сложенные пакстоунами доломитами, оолитовыми грейнстоунами. В верхневизейском интервале разреза Жанакорган доминируют вакистоуны и грейнстоуны – находятся почти в равном переслаивании. В нижнесерпуховском интервале преобладают *in situ* вакистоуны. Все они объединены в бактысайскую свиту шельфовых склоновых и бассейновых отложений. В глубоководных фациях региона в микритовых известняках часто встречаются спикулы губок и радиолярии. В грейнстоунах встречены фораминиферы. В верхневизейских и верхнесерпуховских интервалах встречены конодонты.

В разрезе Актобе в верхневизейском интервале, сложенном переслаиванием вакистоунов, пакстоунов и грейнстоунов (бактысайская свита) в нижней части разреза встречены брекчии дебрисных потоков, в которых присутствуют кораллы и брахиоподы. В вакистоунах обнаружены конодонты. В середине интервала обнаружен водорослевой биогерм с брахиоподами (баундстоун). Это постройки Акуюкского рифового комплекса. Нижнесерпуховский интервал сложен пакстоунами – грейнстоунами в переслаивании с вакистоунами с прослойем брекчии. Завершается разрез рифом Акуюкского рифового комплекса, сложенным водорослево-мшанковыми баундстоунами с фораминиферами, брахиоподами и кораллами.

Мелководные фации представлены в разрезах Жертансай и Ушозень. Верхневизейский интервал начинается карстовой брекчией, выше залегают известняковые скелетные вакистоуны и пакстоуны с прослойями оoidных известняков с фораминиферами и брахиоподами. Все они объединены в майдантальскую свиту.

В разрезе Ушозень верхневизейские отложения сложены известняковыми грейнстоунами и пакстоунами и скелетными известняками с фораминиферами и брахиоподами. Среди них фиксируется прослой известняковых конгломератов. Верхневизейский интервал начинается с пеллоидных известняков. Выше баундстоуны с водорослями *Jyanovia* и наращивается разрез известняковыми скелетными вакистоунами и пакстоунами с фораминиферами и брахиоподами.

В разрезах мелководных и глубоководных фаций прослежены комплексы фораминифер верхнего визе и нижних серпухов. Граница серпуховского яруса проводится по появлению фораминифер *Janischewskina delicata*, где они не обнаружены, граница проведена по появлению *Neoarchaediscus parvus*, *Biseriammina parva* и *Endostaffella parva*.

Местные корреляции слоев глубоководных и мелководных фаций осуществлялись по видам родов *Neoarchaediscus* и *Janischewskina*.

Корреляция визейских и серпуховских стратиграфических подразделений северо-запада гор Большой Карагату базируется на фораминиферах, а глубоководных верхневизейских – на конодонтах.

Первые зональные подразделения по фораминиферам для Большого Карагату в Казахстане были выделены М. М. Марфенковой (1991). В дальнейшем работы были продолжены В. Я. Жайминой, С. Н. Мустапаевой, А. Б. Байбатша и Ж. Белкой. Необходимо продолжить эти исследования.

Работа выполнялась по гранту 0516.

ЛИТЕРАТУРА

1 Explanatory note to International Stratigraphic Chart. Jurgen Remane Chairmann of ICS IUCS. Courtesy of the Division of Earth Sciences. – Unesco. 2000. – P. 1-7.

2 Gradstein F.M., Ogg J.G., Smith A.G., Bleeker W., Lourens L.J. A new Geologic Time Scale with special reference to Precambrian and Neogene. – 2004. – Episodes. – Vol. 27, N 2. – P. 83-100.

3 Richards B.C., Alekseev A.S., Aretz M., Barnett A., Barskov I.S., Blanco-Ferrera S., Brenckle P., Clayton G., Dean M., Ellwood B., Gatovsky Y., Gibshman N.B., Hecker M., Konovalova V.A., Korn D., Kulagina E., Lane H.R., Mamet B.L., Nemyrovska T.I., Nikolaeva S.V., Pazukhin V.N., Qi Y., Sanz-Lpez J., Saltzmann M., Titus A., Utting J., Wang X. (2013): Report of task group to establish a GSSP close to the existing Viséan-Serpukhovian boundary // Newsletter on Carboniferous Stratigraphy. – 30: 35-39.

4 Nemirovskaya T., Perret M.F., Meischner D. (1994): *Lochriea ziegleri* and *Lochriea senckenbergica* – new conodont species from the latest Viséan and Serpukhovian in Europe // Courier Forschungsinstitut Senckenberg. – 168: 311-317.

- 5 Bischoff G. (1957): Die conodonten-Stratigraphie des rheno-herzynischen Untercarbons mit Berücksichtigung der Wocklumeria-Stufe und der Devon/Karbon-Grenze // Abhandlungen des Heissischen Landesamtes f?r Bodenforschung. – 19: 1-64.
- 6 Nikolaeva S.V., Kulagina E.I., Pazukhin V.N., Kochetova N.N., Konovalova V.A. (2009): Paleontology and microfacies of the Serpukhovian in the Verkhnyaya Kardailovka section, south Urals, Russia: potential candidate for the GSSP for the Vis?an-Serpukhovian boundary // Newsletters on Stratigraphy. – 43: 165-193.
- 7 Пазухин В.Н., Кулагина Е.И., Николаева С.В., Кочетова Н.Н. и Коновалова В.А. Серпуховский ярус в разрезе Верхняя Кордашловка, Южный Урал // Стратиграфия и геологическая корреляция. – 2010. – 18: 269-289.
- 8 Nikolaeva, S.V. (2013): Ammonoids from the Vis?an-Serpukhovian Boundary beds in the Verkhnyaya Kardailovka section: a progress report // Newsletter on Carboniferous Stratigraphy, **30**: 49-53.
- 9 Кабанов П.Б., Алексеева Т.В. и Алексеев А.О. Серпуховский ярус (Карбон) в типичном представлении: седиментология, минералогия, геохимия, и корреляция разрезов // Институт Проблем физики, химии и биологии Российской академии наук, 2012. – Пущино, Россия, **20**: 18-48.
- 10 Kabanov P.B., Alekseeva A.S., Gabdullin R.R., Gibshman N.B., Bershov A., Naumov S., Samarin E. (2013): Progress in sequence stratigraphy of upper Vis?an and lower Serpukhovian of southern Moscow Basin, Russia // Newsletter on Carboniferous Stratigraphy, **30**: 55-65.
- 11 Постановления межведомственного стратиграфического комитета и его постоянных комиссий. – СПб., 1998. – Вып. 30. – С. 20-28.
- 12 Решения III Казахстанского Стратиграфического совещания по докембрию и фанерозою. – Ч. 1. Докембрий и палеозой. – Алма-Ата, 1991. – С. 3-7, 110-135.
- 13 Жаймина В.Я. Проблемы биостратиграфии Казахстана (на примере фораминиферовой зональности карбона) // Геология Казахстана. – 2002. – № 4. – С. 15-25.
- 14 Carboniferous guide foraminifera, corals and conodonts in the Franco-Belgian and Campine Basins: their potential for widespread correlation // Courier Forschungs Institut, Senckenberg. – 1990. – Vol. 130. – P. 15-30.
- 15 Зональная стратиграфия фанерозоя СССР / Под ред Т. Н. Кореня. – М., 1991. – С. 64-76.
- 16 Кулагина Е.И., Гибшман Н.Б. Зональное рачленение серпуховского яруса по фораминиферам // Стратиграфия и палеогеография карбона Евразии. – Екатеринбург, 2002. – С. 183-192.
- 17 Гибшман Н.Б., Кабанов П.Б., Алексеев А.С., Горева Н.В. и Мопкина М.А. Новогуровский карьер, верхнее Визе и Серпухов. В: Алексеев А.С., Горева Н.В. (ред.). Типы каменноугольных разрезов в южной части Московского бассейна. – Палеонтологический институт им. Борисюка Российской академии наук. – Август 11-12, 2009. – Отчет о полевой поездке. – С. 13-44.
- 18 Жаймина В.Я. Автореф. дис. ... докт. геол.-мин. наук. – Алматы, 2006. – 55 с.
- 19 Baybatsha A., Zhaimina V.Ja., Mustapaeva C. (2013). Boundary sediments between Vis?an and Serpukhovian stages in the Big Karatau (Southern Kazakhstan) // Science and Technologies in Geology, Exploration and Mining. – Albena. – P. 9-16.
- 20 Cook H.E., Zhemchuzhnikov V.G., Zempolich W.G., Zhaimina V.Ya., Buvtyshkin V.M. and others (2002). Devonian and Carboniferous carbonate platform facies in the Bolshoi Karatau, Southern Kazakhstan: outcrop analogs for coeval carbonate oil and gas fields in the Caspian basin, Western Kazakhstan // SEPM Spezial publication No. 74. – Tulsa, Oklahoma, USA. – P. 81-122.
- 21 Жаймина В.Я. Фораминиферовая зональность каменноугольных отложений Б. Карагатау (Южный Казахстан) как аналога одновозрастных нефтеносных карбонатных отложений Северо-Прикаспийской впадины (Западный Казахстан) // Труды Первого Международного симпозиума: Биостратиграфия нефтегазоносных бассейнов. – СПб., 1995. – С. 76-85.

REFERENCES

- 1 Explanatory note to International Stratigraphic Chart. Jurgen Remane Chairmann of ICS IUCS. Courtesy of the Division of Earth Sciences. Unesco. 2000. P. 1-7.
- 2 Gradstein F.M., Ogg J.G., Smith A.G., Bleeker W., Lourens L.J. A new Geologic Time Scale with special reference to Precambrian and Neogene. 2004. Episodes. Vol. 27, N 2. R. 83-100.
- 3 Richards B.C., Alekseev A.S., Aretz M., Barnett A., Barskov I.S., Blanco-Ferrera S., Brenckle P., Clayton G., Dean M., Ellwood B., Gatovsky Y., Gibshman N.B., Hecker M., Konovalova V.A., Korn D., Kulagina E., Lane H.R., Mamet B.L., Nemirovska T.I., Nikolaeva S.V., Pazukhin V.N., Qi Y., Sanz-L?pez J., Saltzmann M., Titus A., Utting J., Wang X. (2013): Report of task group to establish a GSSP close to the existing Viscean-Serpukhovian boundary. Newsletter on Carboniferous Stratigraphy. **30**: 35-39.
- 4 Nemirovskaya T., Perret M.F., Meischner D. (1994): Lochriea ziegleri and Lochriea senckenbergica – new conodont species from the latest Vis?an and Serpukhovian in Europe. Courier Forschungsinstitut Senckenberg. 168: 311-317.
- 5 Bischoff G. (1957): Die conodonten-Stratigraphie des rheno-herzynischen Untercarbons mit Berücksichtigung der Wocklumeria-Stufe und der Devon/Karbon-Grenze. Abhandlungen des Heissischen Landesamtes f?r Bodenforschung. 19: 1-64.
- 6 Nikolaeva S.V., Kulagina E.I., Pazukhin V.N., Kochetova N.N., Konovalova V.A. (2009): Paleontology and microfacies of the Serpukhovian in the Verkhnyaya Kardailovka section, south Urals, Russia: potential candidate for the GSSP for the Vis?an-Serpukhovian boundary. Newsletters on Stratigraphy. 43: 165-193.
- 7 Pazuhin V.N., Kulagina E.I., Nikolaeva S.V., Kochetova N.N. i Konovalova V.A. Serpuhovskij jarus v razreze Verhnjaja Kardailovka, Juzhnyj Ural. Stratigrafija i geologicheskaja korrelacijja. 2010. 18: 269-289.
- 8 Nikolaeva, S.V. (2013): Ammonoids from the Vis?an-Serpukhovian Boundary beds in the Verkhnyaya Kardailovka section: a progress report. Newsletter on Carboniferous Stratigraphy. 30: 49-53.

- 9 Kabanov P.B., Alekseeva T.V. i Alekseev A.O. Serpuhovskij jarus (Karbon) v tipichnom predstavlenii: sedimentologija, mineralogija, geohimija, i korreljacija razrezov. Institut Problem fiziki, himii i biologii Rossijskoj akademii nauk, 2012. Pushhino, Rossija. 20: 18-48.
- 10 Kabanov P.B., Alekseev A.S., Gabdullin R.R., Gibshman N.B., Bershov A., Naumov S., Samarin E. (2013): Progress in sequence stratigraphy of upper Vis?an and lower Serpukhovian of southern Moscow Basin, Russia. Newsletter on Carboniferous Stratigraphy. 30: 55-65.
- 11 Postanovlenija mezhvedomstvennogo stratigraficheskogo komiteta i ego postojannyh komissij. SPb., 1998. Vyp. 30. S. 20-28.
- 12 Reshenija III Kazahstanskogo Stratigraficheskogo soveshhaniya po dokembriju i fanerozoju. Ch. 1. Dokembrij i paleozoj. Alma-Ata, 1991. S. 3-7, 110-135.
- 13 Zhajmina V.Ja. Problemy biostratigrafii Kazahstana (na primere foraminiferoj zonal'nosti karbona). Geologija Kazahstana. 2002. № 4. C. 15-25.
- 14 Carboniferous guide foraminifera, corals and conodonts in the Franco-Belgian and Campine Basins: their potential for widespread correlation. Sourier Forschungs Institut, Senckenberg. 1990. Vol. 130. P. 15-30.
- 15 Zonal'naja stratigrafija fanerozoja SSSR. Pod red T. N. Koren'. M., 1991. S. 64-76.
- 16 Kulagina E.I., Gibshman N.B. Zonal'noe rachlenenie serpuhovskogo jarusa po foraminferam. Stratigrafija i paleogeografija karbona Evrazii. Ekaterinburg, 2002. S. 183-192.
- 17 Gibshman N.B., Kabanov P.B., Alekseev A.S., Goreva N.V. i Moshkina M.A. Novogurovskij kar'er, verhnee Vize i Serpuhov. V: Alekseev A.S., Goreva N.V. (red.). Tipy kamenourogol'nyh razrezov v juzhnoj chasti Moskovskogo bassejna. Paleontologicheskiy institut im. Borisjuka Rossijskoj akademii nauk. Avgust 11-12, 2009. – Otchet o polevoj poezdke. S. 13-44.
- 18 Zhajmina V.Ja. Avtoref. dis. ... dokt. geol.-min. nauk. Almaty, 2006. 55 s.
- 19 Baybatsha A., Zhaimina V.Ja., Mustapaeva C. (2013). Boundary sediments between Vis?an and Serpukhovian stages in the Big Karatau (Southern Kazakhstan). Science and Technologies in Geology, Exploration and Mining. Albena. P. 9-16.
- 20 Cook H.E., Zhemchuzhnikov V.G., Zempolich W.G., Zhaimina V.Ya., Buvtyshkin V.M. and others (2002). Devonian and Carboniferous carbonate platform facies in the Bolshoi Karatau, Southern Kazakhstan: outcrop analogs for coeval carbonate oil and gas fields in the Caspian basin, Western Kazakhstan. SEPM Spezial publication No. 74. Tulsa, Oklahoma, USA. P. 81-122.
- 21 Zhajmina V.Ja. Foraminiferovaja zonal'nost' kamennourogol'nyh otlozhenij B. Karatau (Juzhnyj Kazahstan) kak analoga odnovozrastnyh neftenosnyh karbonatnyh otlozhenij Severo-Prikaspisjkoj vpadiny (Zapadnyj Kazahstan). Trudy Pervogo Mezhdunarodnogo simpoziuma: Biostratigrafija neftegazonosnyh bassejnov. SPb., 1995. S. 76-85.

Резюме

В. Я. Жаймина¹, С. Н. Мұстапаева², А. Б. Байбатша², Ж. Белка³

¹К. И. Сәтбаев атындағы Геологиялық ғылымдар институты, Алматы қ.,
²К. И. Сәтбаев атындағы Қазақ ұлттық техникалық университеті, Алматы қ.,
³Адам Мицкевич атындағы университет, Познань, Польша)

ҚАРАТАУДАҒЫ (ОҢТҮСТИК ҚАЗАҚСТАН) ВИЗЕ ЖӘНЕ СЕРПУХОВ ҮЛКЕН ЯРУСТАРЫНЫң ШЕКАРАСЫ

Карбон стратиграфиясы Халықаралық Шағын комиссиясы визе-серпухов түзілімдерінің Жанаңдық Стратотип Шекарапар Нұктесі қымасын іздеумен айналысады. Үлкен Қарататудың жақсы сипатталған фауналық қималары (Жаңақорған, Ақтөбе, Жертасай, Ушөзен және т.б.) Қазакстандағы репері бола алады. Үлкен Қарататудың солтүстік-батыс аймағында карбонаттар 2 типке бөлінеді: теренсұлы және саясулы. Олардан жоғарғыvizе және төмөнгісерпухов фораминифер комплекстері табылды. Серпухов ярусының шекарасы *Janischewskina delicata*, немесе *Neoarchaediscus parvus*, *Biseriammina parva* және *Endostaffella parva* фораминифераларының пайды болуымен жүргізіледі. Үлкен Қаратату тауларының солтүстік-батысындағы визе және серпухов стратиграфиялық бөлімшелері фораминиферлер мен ал теренсұлы түзілімдер жоғары-визелік конодонталармен корреляцияланады.

Тірек сөздер: шекара, стратотип, фораминиферлер, конодонттар, жоғарғы визе, төмөнгі серпухов, жіккабат, солтүстік-батыс, Үлкен Қаратату, қима, Жаңақорған, Ақтөбе, Жертансай, Ушөзен.

Summary

V. Ja. Zhaimina¹, S. N. Mustapaeva², A. B. Baybatsha², Z. Belka³

(¹Institute of Geological Sciences named after K. I. Satpaev, Almaty,

²Kazakh national technical university after K. I. Satpayev, Almaty,

³Adam Mickiewicz university, Poznan, Poland)

THE VISEAN – SERPUKHOVIAN BOUNDARY IN THE BIG KARATAU MOUNTAINS (COUTH KAZAKHSTAN)

International Subcommission on Carboniferous stratigraphy is seeking to determine the cut points of global stratotype boundaries for Visean-Serpukhovian deposits. Reference points in Kazakhstan may serve well characterized faunistically cuts Big Karatau (Zhanakurgan, Aktobe, Zhertansay, Ushozen etc.). In the north-western region of the Big Karatau stands type 2 carbonates: deep and shallow. They found foraminiferal Upper Visean and Late Serpukhovian. Border Serpukhovian tier conducted by the appearance of foraminifera *Janischewskina delicata* or *Neoarchaediscus parvus*, *Biseriammina parva* and *Endostaffella parva*. Correlation Visean and Serpukhovian stratigraphic units northwest mountains Big Karatau based on foraminiferal and deep Upper Visean – on conodonts.

Keywords: boundary, stratotype, foraminifera, conodonts, Upper Vis?an, Late Serpukhovian, Substage, northwestern, Big Karatau, sections, Zhanakurgan, Aktobe, Akuyuk, Zhertansay, Ushozen.

Поступила 02.06.2014г.